

LANCÉ

Servicio Clima Espacial

<http://www.sciesmex.unam.mx>

Reporte Semanal



Reporte semanal: del 20 al 26 de julio 2018

LANCÉ

CONDICIONES DEL SOL

Regiones activas: 0.

Hoyos coronales: 2 y algunos dispersos que no están bien delimitados en la región entre los polos.

Fulguraciones solares: clase A (no significativas).

Eyecciones de masa coronal: Ninguna.

CONDICIONES DEL MEDIO INTERPLANETARIO

Se observó una región de compresión.

CONDICIONES DE MAGNETÓSFERA

Índice K local: no se registraron perturbaciones.

Índice Dst: no se registraron perturbaciones.

CONDICIONES DE LA IONOSFERA

No se registraron perturbaciones.

Reporte semanal: del 20 al 26 de julio 2018

LANCÉ

PRONÓSTICOS

Viento solar:

Velocidades en rangos de 400-700 km/s. La densidad del plasma se mantendrá sin variaciones significativas. No se pronostica la llegada de alguna EMC para los próximos días.

Fulguraciones solares:

Baja probabilidad de fulguraciones.

Tormentas geomagnéticas:

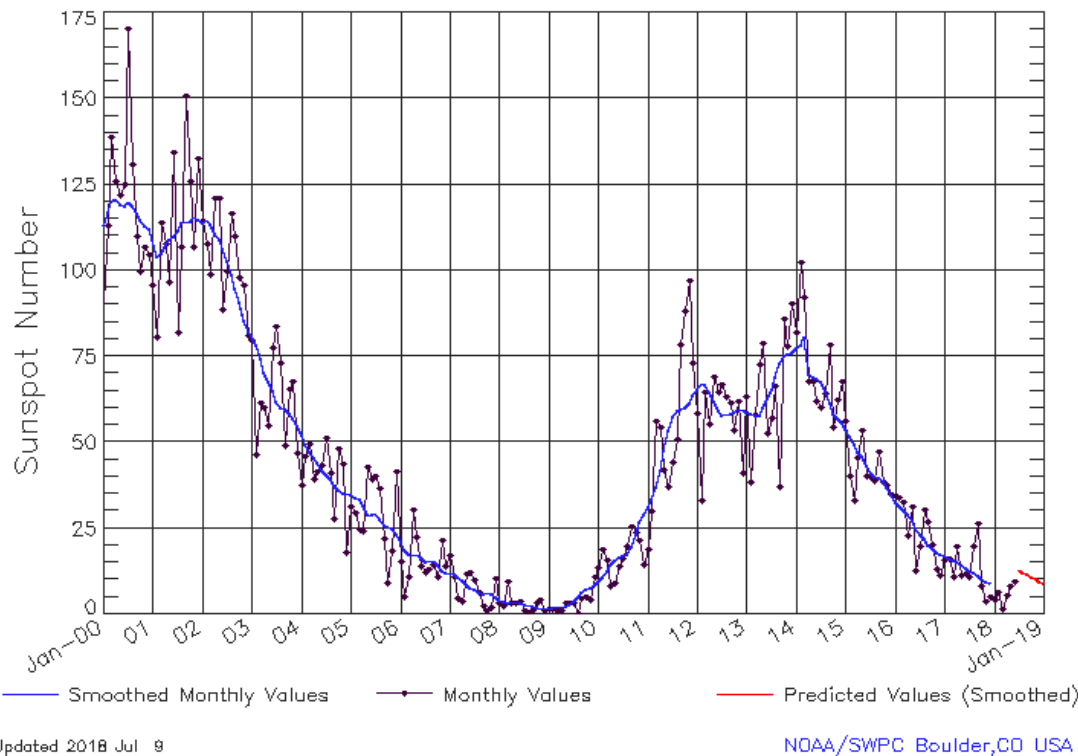
Baja probabilidad de tormentas.

Tormentas de radiación solar:

Baja probabilidad de tormentas.

Ciclo de manchas solares y la actividad solar

ISES Solar Cycle Sunspot Number Progression
Observed data through Jun 2018

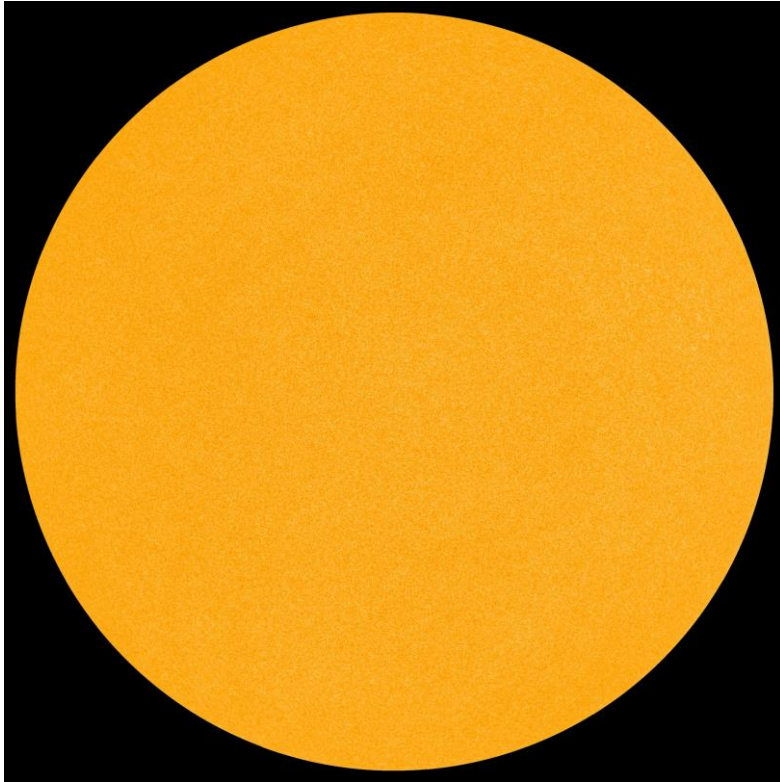


La figura muestra el conteo del número de manchas solares desde enero del 2000.

Entre más manchas solares presente el Sol, es mayor la posibilidad de que ocurra una tormenta solar.

Estamos en el mínimo de manchas solares del ciclo 24.

<http://www.swpc.noaa.gov/products/solar-cycle-progression>

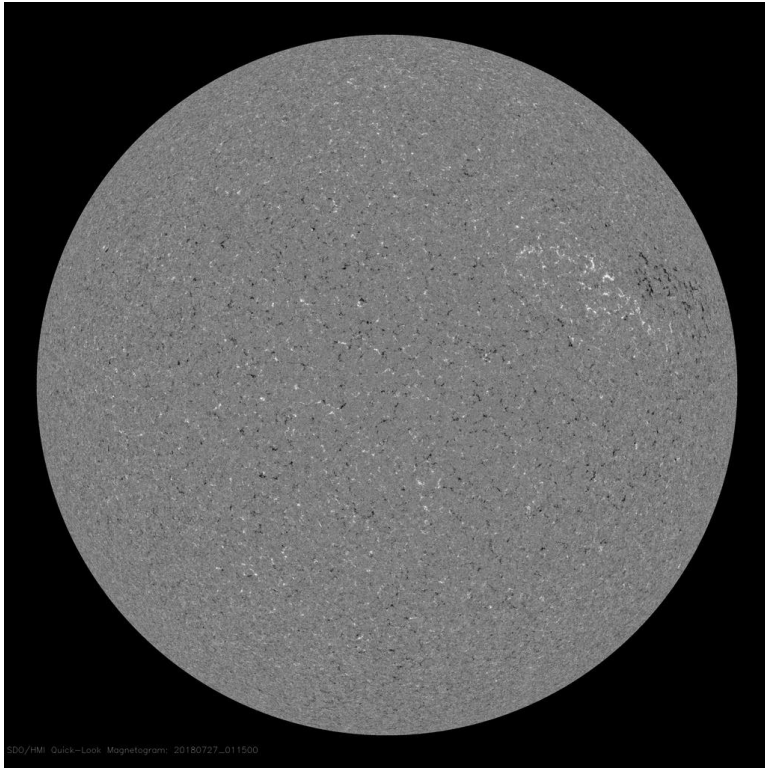


La fotosfera es la zona “superficial” del Sol, donde aparecen las manchas solares. Regiones oscuras formadas por material más frío que sus alrededores y que contienen intensos campos magnéticos. Las manchas solares están relacionadas con la actividad solar.

El Sol hoy:

La imagen más reciente de la fotosfera, tomada por el satélite artificial SDO, no muestra manchas solares.

Imagen: <http://www.spaceweather.com/images2018/26jul18/hmi1898.gif>



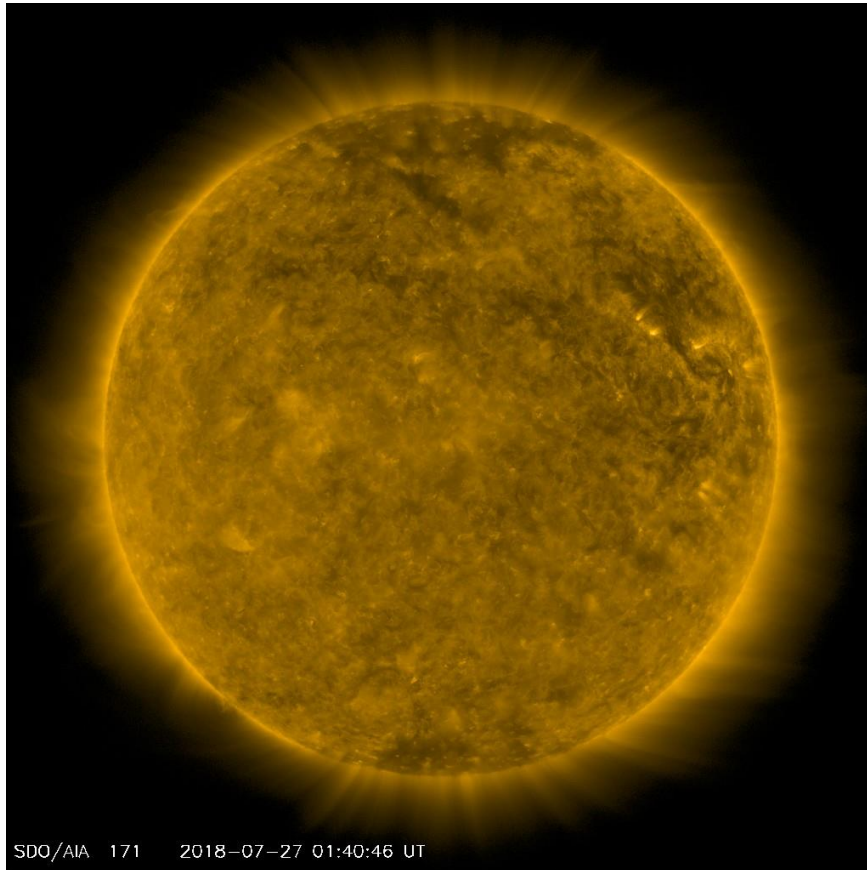
Un magnetograma solar permite identificar las regiones de intensos campos magnéticos solares. En general, estos campos magnéticos están asociados a manchas solares, la estructura de la atmósfera solar, y están localmente cerrados.

Las regiones de color blanco/negro son zonas por donde salen/entran líneas de campo magnético.

El Sol hoy:

El magnetograma más reciente tomado por el satélite artificial SOHO.

Imagen: <https://sdo.gsfc.nasa.gov/data/>



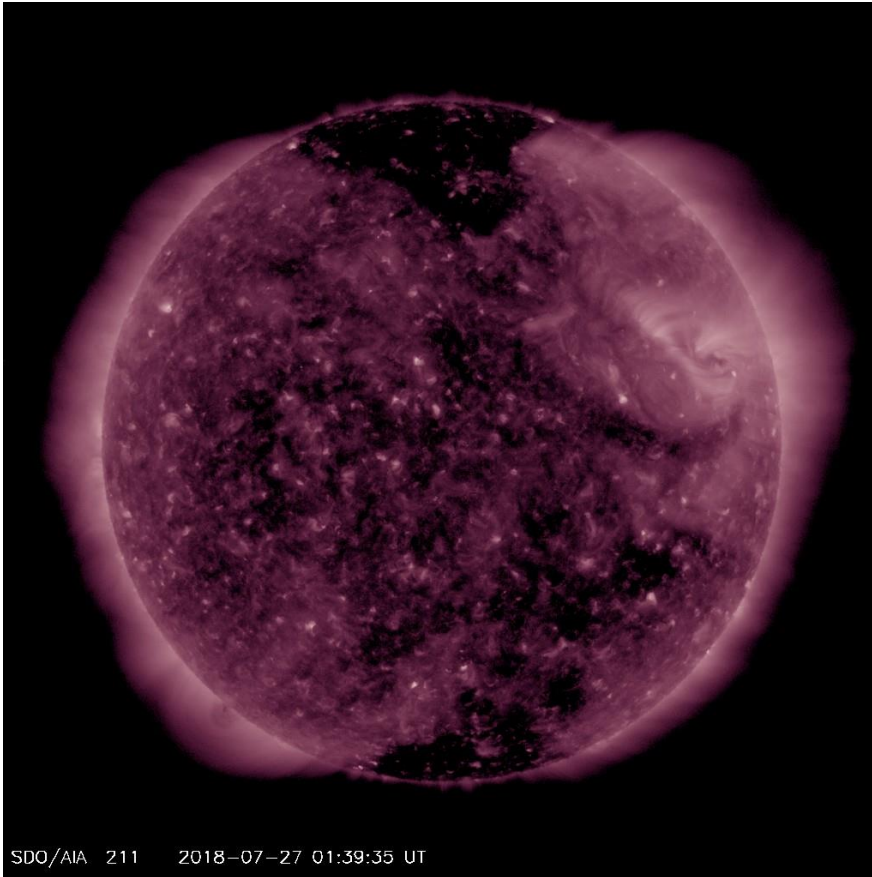
El Sol en rayos X suaves (171 Å). La emisión de Fe IX y X revela la estructura magnética en la región de la atmósfera solar llamada corona solar que se encuentra a 6.3×10^5 K.

Las regiones activas (zonas claras) son los lugares donde se presentan los fenómenos de actividad solar más importantes. Las regiones activas están regularmente asociadas a las manchas solares.

El Sol hoy:

Imagen más reciente, tomada por el satélite artificial SDO, no muestra regions activas.

Imagen: <https://sdo.gsfc.nasa.gov/data/>



El Sol en rayos X suaves (211 Å). La emisión de Fe XIV revela la estructura magnética en la alta corona que se encuentra a 2×10^6 K.

Los hoyos coronales (regiones oscuras) son regiones de campo magnético solar localmente abierto. Los hoyos coronales son fuente de las corrientes de viento solar rápido.

El Sol hoy:

Imagen más reciente, tomada por el satélite artificial SDO, muestra los hoyos coronales cerca de los polos y algunos dispersos cerca del ecuador.

Imagen: <https://sdo.gsfc.nasa.gov/data/>

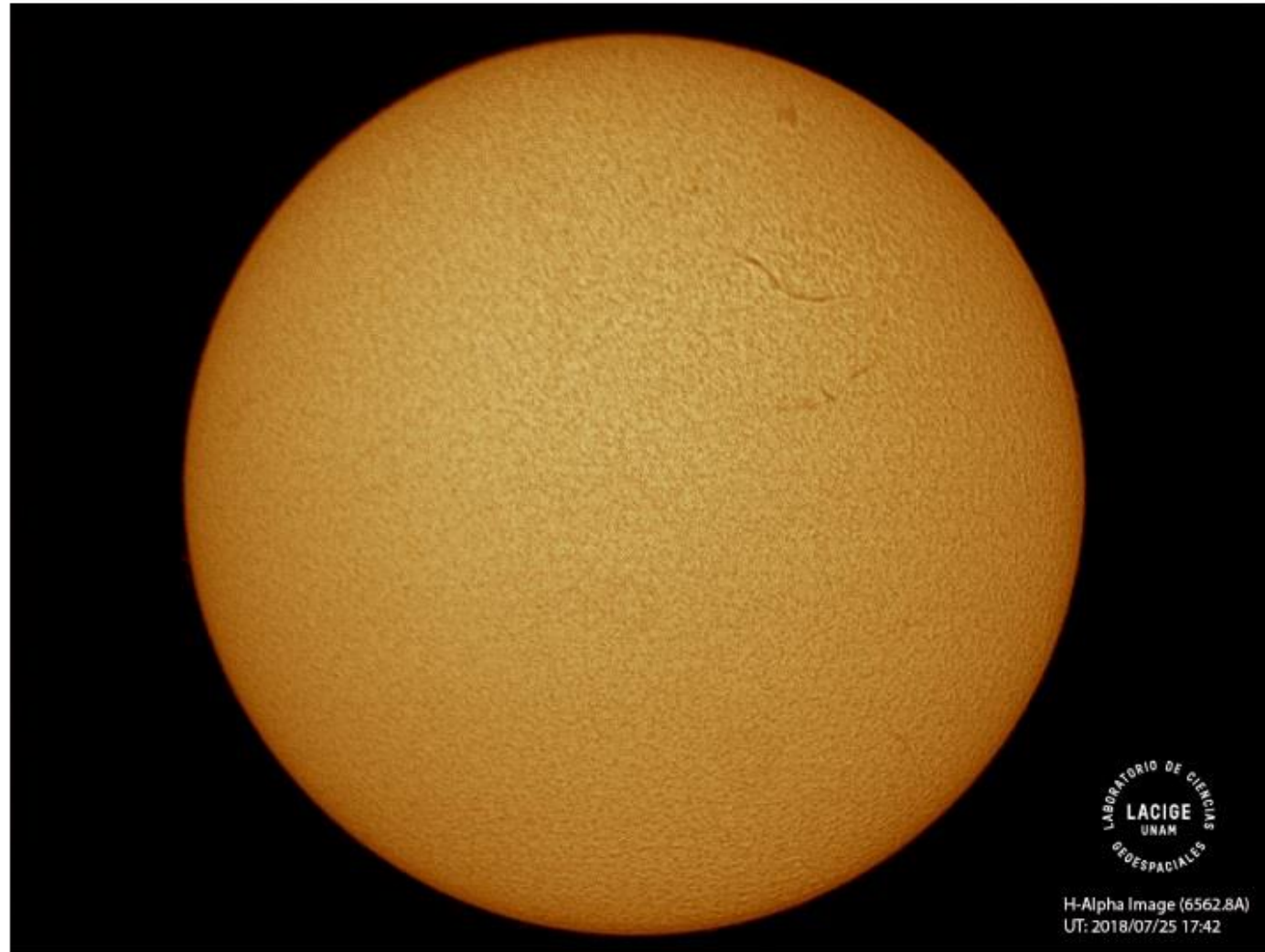


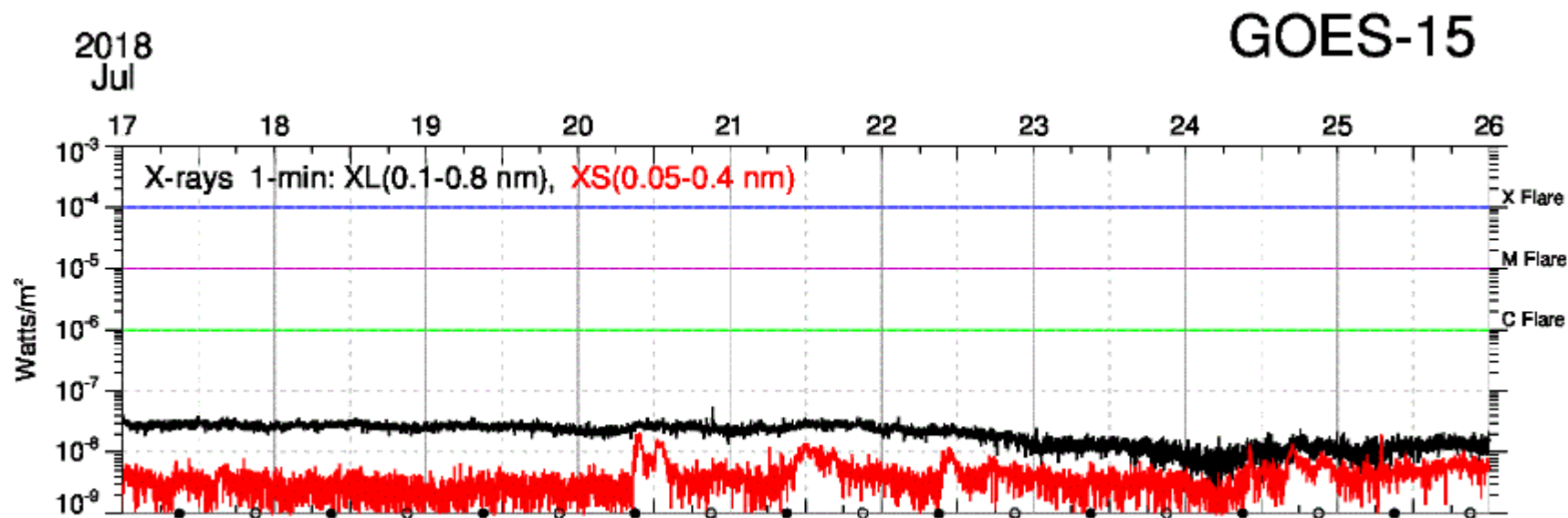
Imagen de la cromosfera solar
en H-Alpha (6562.8 Å) para el
día 25/07/2018, 17:42 hrs TU.

No se observan regiones
activas en el disco solar.

Actividad solar: Fulguraciones solares

Flujo de rayos X solares detectado por los satélites GOES.

Se detectaron las fulguraciones clase A (muy débiles) que no provocan consecuencias para nuestro planeta.



https://satdat.ngdc.noaa.gov/sem/goes/data/new_plots/latest/goes15/g15_summary_latest14days.jpg

Medio interplanetario: El viento solar cercano a la Tierra

Condiciones del viento solar cercanas al ambiente terrestre registradas por el satélite artificial ACE. De arriba a abajo: campo magnético, dirección del campo magnético, densidad de protones, velocidad del viento solar y temperatura de protones.

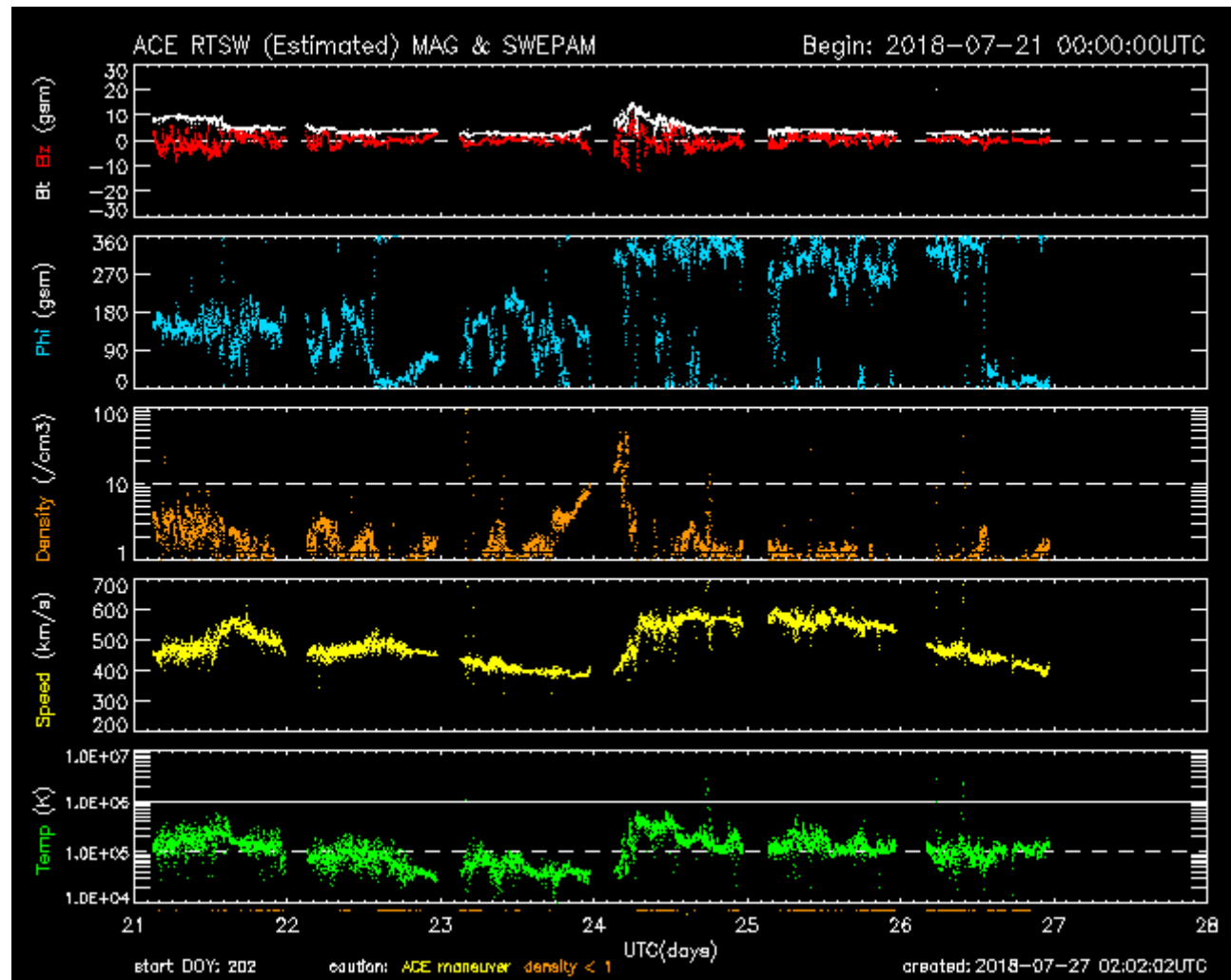


Imagen: <http://www.swpc.noaa.gov/products/ace-real-time-solar-wind>

Medio interplanetario: El viento solar cercano a la Tierra

Modelo numérico WSA-ENLIL.

El modelo pronostica un ambiente solar terrestre dominado por corrientes de viento solar promedio de 450 km/s. La densidad del plasma se mantendrá sin cambios significativos. No pronostica la llegada de alguna EMC para los próximos días.

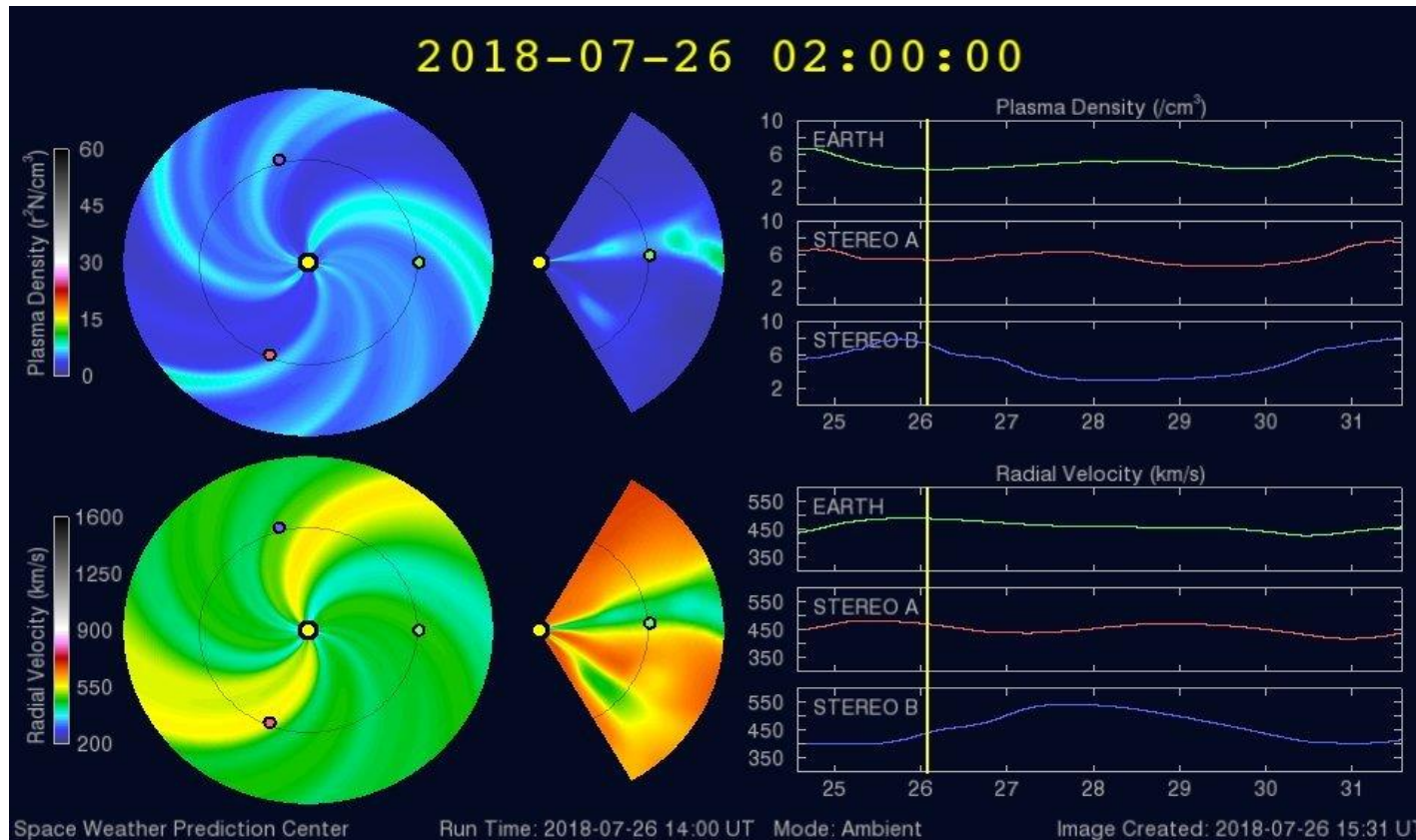


Imagen: <http://www.swpc.noaa.gov/products/wsa-enlil-solar-wind-prediction>

Medio interplanetario: El viento solar cercano a la Tierra

Modelo numérico IPS-Driven ENLIL.

En contraste con el modelo WSA-ENLIL, este modelo pronostica corrientes de viento solar rápido con velocidades desde 700 km/s hasta velocidades promedio de 400 km/s, no se presentarán variaciones en la densidad del plasma. La temperatura del viento será baja y la magnitud del campo magnético se mantendrá constante. No pronostica que ocurra alguna EMC en los próximos días.

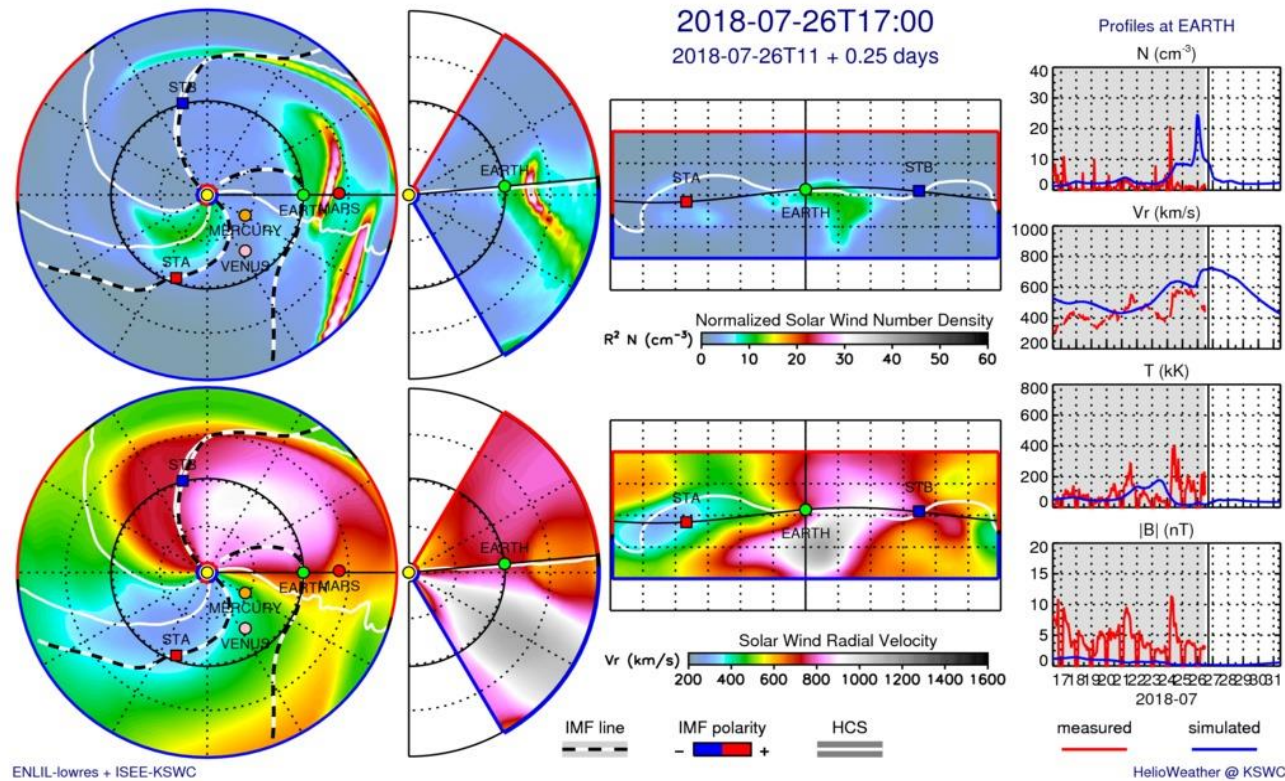
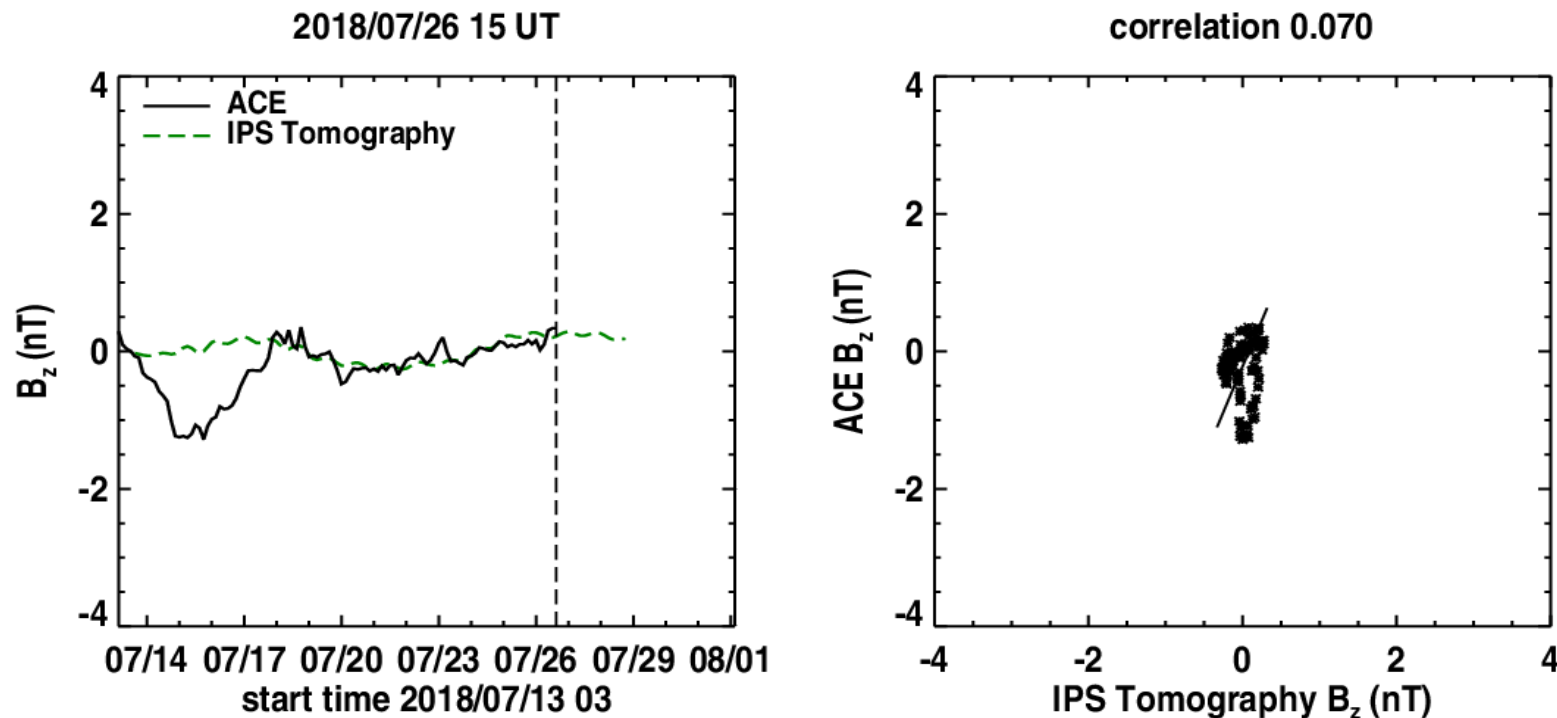


Imagen: <http://spaceweather.rra.go.kr/models/ipsbdenlil>

Medio interplanetario: Pronóstico de Bz en L1

Pronóstico de la componente Bz del viento solar cercano a la Tierra usando la tomografía con datos IPS.



(Izquierda) Se pronostica una componente B_z positiva. **(Derecha)** La comparación con las observaciones del Advanced Composition Explorer (ACE) indican una correlación de 0.070 en el último pronóstico.

Imagen: http://ips.ucsd.edu/high_resolution_predictions

Medio interplanetario: Región de interacción de viento solar

Esta semana se registró una región de compresión (área sombreada). La velocidad del viento solar rápido es de ~570 km/s y su origen es un hoyo coronal ecuatorial de polaridad negativa. El cruce de la hoja de corriente y de la interfase de corriente se indica con la línea vertical amarilla y gris, respectivamente. Dicha región no generó tormenta geomagnética.

Fecha: 2018/07/22
Hora: 12:43 T.U.

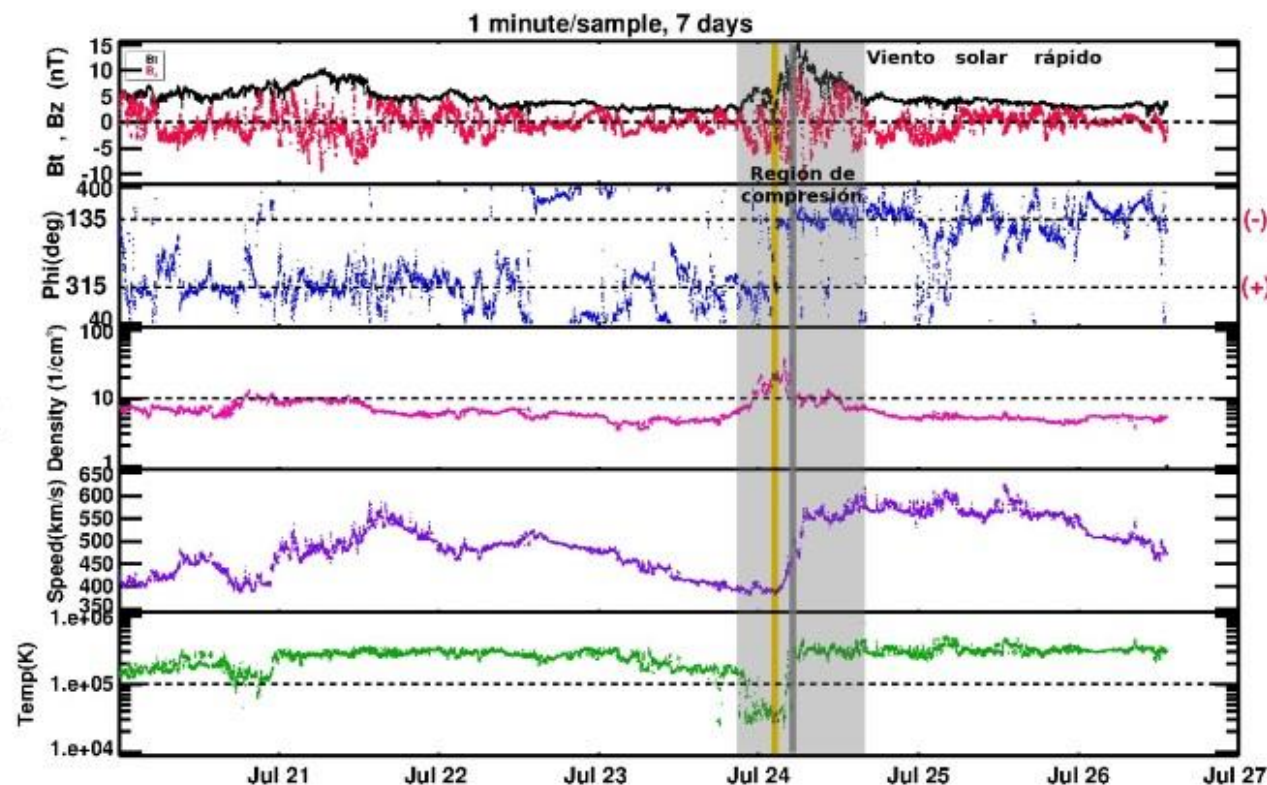
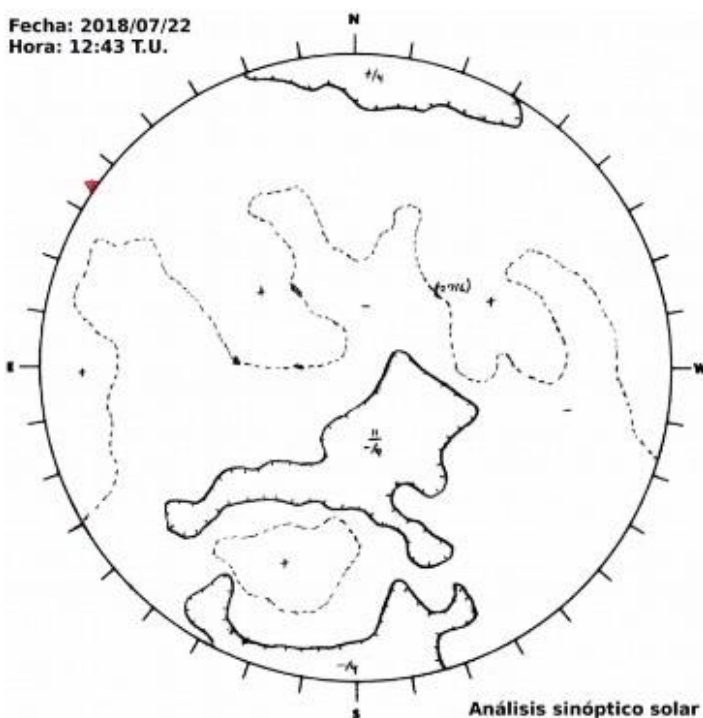


Imagen 1: ftp://ftp.swpc.noaa.gov/pub/synoptic_maps/

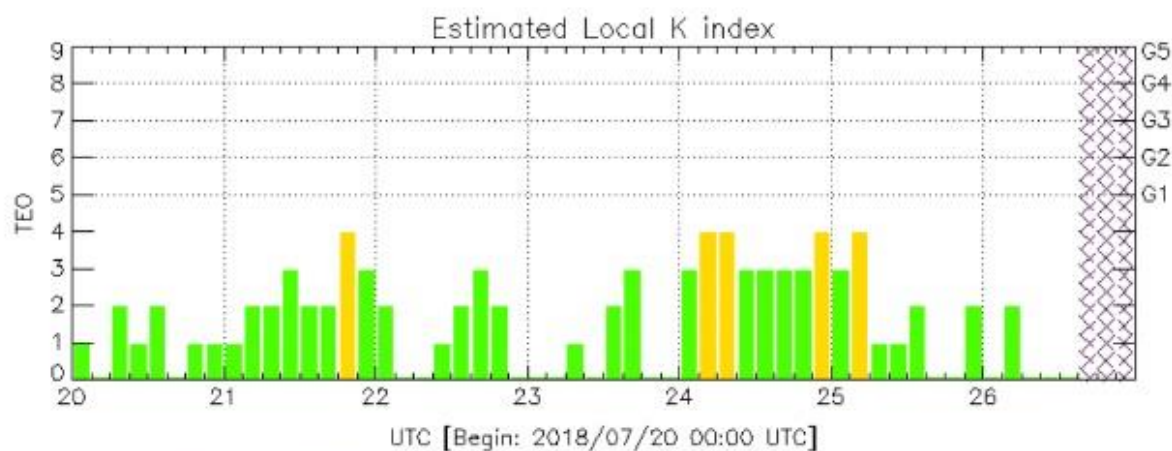
Imagen: <http://www.swpc.noaa.gov/products/real-time-solar-wind>

Perturbaciones geomagnéticas: Índices geomagnéticos Kp y Kmex

Imagen: <http://services.swpc.noaa.gov/images/planetary-k-index.gif>

El índice K indica la intensidad de las variaciones del campo magnético terrestre en intervalos de 3 horas. El índice Kp lo expresa a escala planetaria, mientras que el Kmex lo hace para el territorio mexicano.

En términos generales fue una semana quieta en cuanto alteraciones magnéticas se refiere. Con excepción del día 24 donde se detectaron perturbaciones provocadas por una región de interacción de viento solar que atravesó el ambiente espacial terrestre.

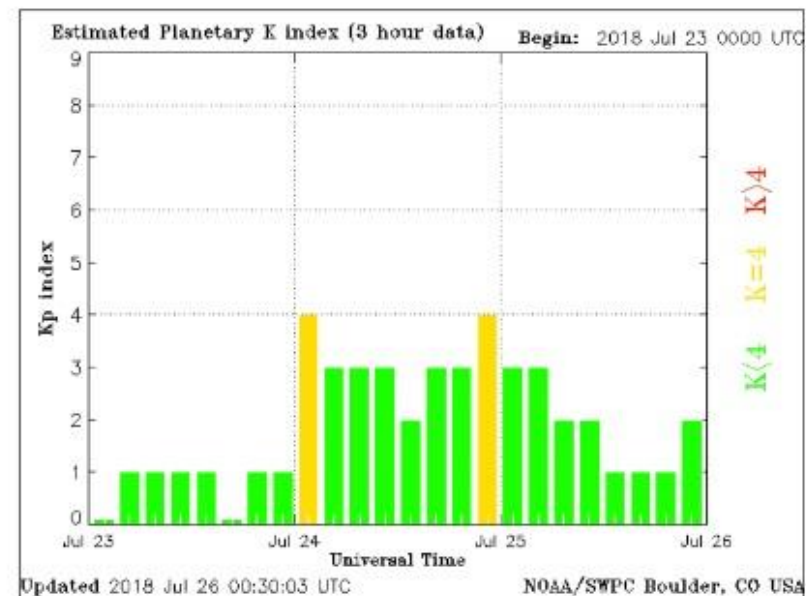


Color Code: ■ quiet, ■ perturbed, ■ storm, XXXX data not available.

TEO: Teoloyucan Geomagnetic Observatory (LAT 19.746, LON -99.193)

LANC/SCIESMEX - Morelia, Mich., MX

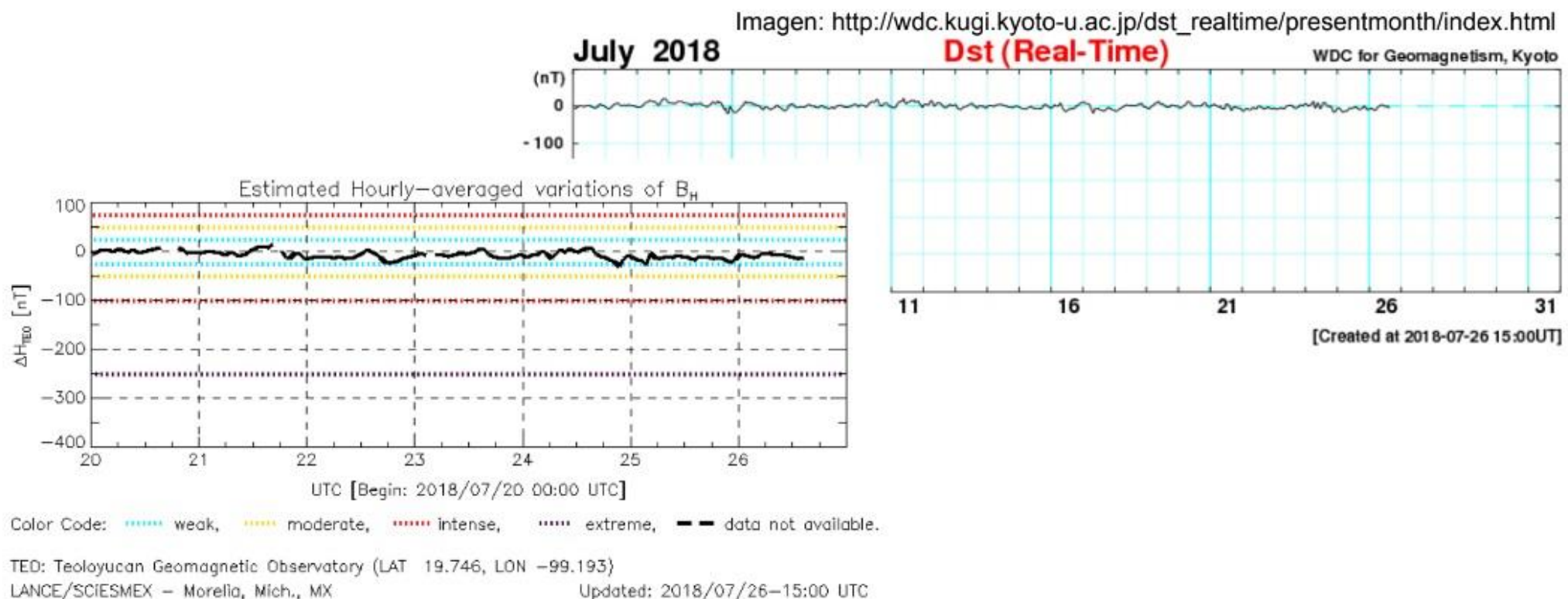
Updated: 2018/07/26-15:00 UTC



Perturbaciones geomagnéticas: Índice Dst y ΔH

Los índices Dst y ΔH miden las variaciones temporales de la componente horizontal del campo geomagnético, el primero a escala planetaria y el segundo para México. Estas variaciones, en general, se deben al ingreso de partículas anómalas al ambiente espacial terrestre.

Se detectaron perturbaciones débiles en la componente horizontal durante el 24 de julio.



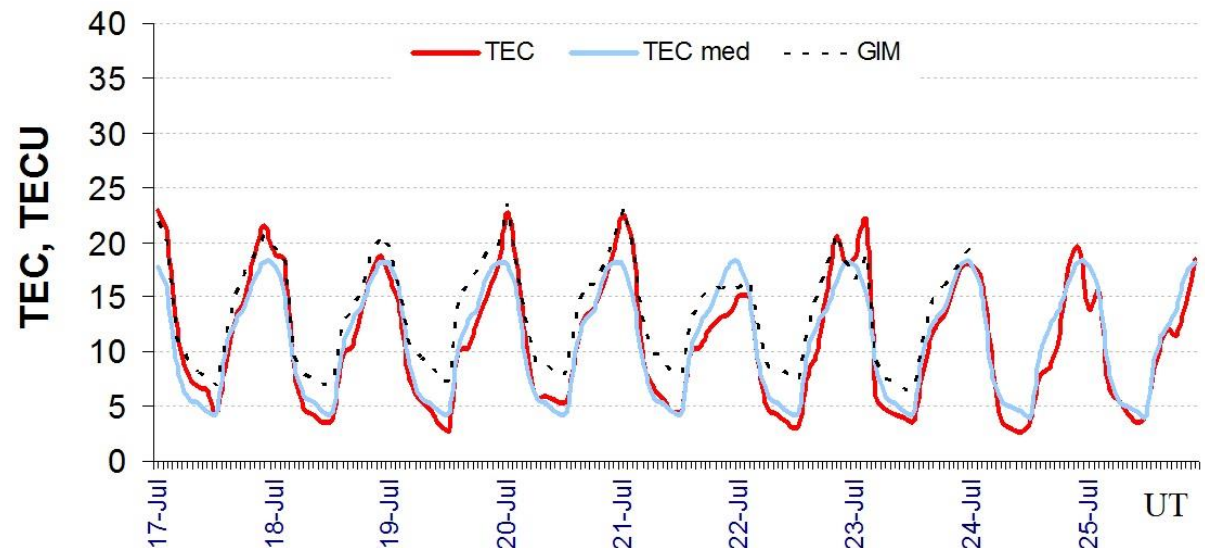
Ionósfera sobre México: TEC en el centro del país (datos locales)

El contenido total de electrones (TEC) es un parámetro que sirve para caracterizar el estado de la ionosfera de la Tierra.

Serie temporal de los valores de TEC (rojo) con referencia a su valor mediano (azul claro) durante 17-25.07.2018 con base en los datos de la estación local UCOE (TLALOCNet, UNAVCO) en las instalaciones del MEXART:

Según los datos locales, no se observaron perturbaciones ionosféricas esta semana.

Datos locales están confirmados con datos globales de GIM (punteado).

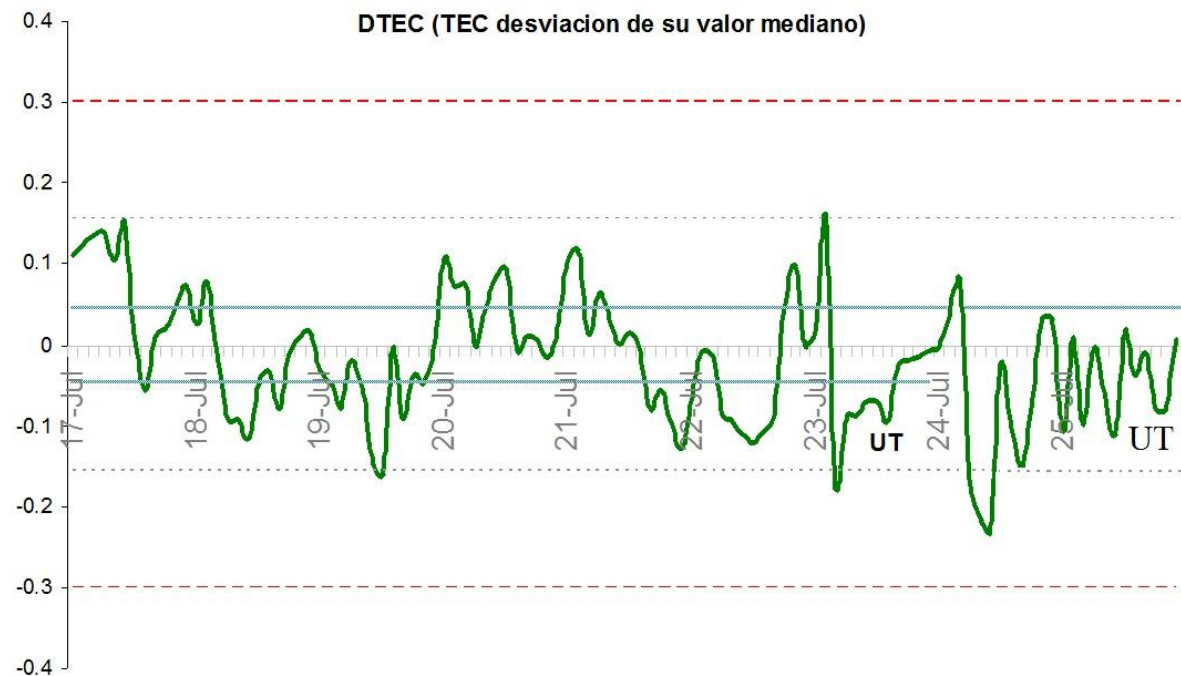


El cálculo se realiza en base de TayAbsTEC software del Instituto de Física Solar-Terrestre, Sección Siberiana de la Academia de Ciencias de Rusia. Referencia: Yasyukevich et al., Influence of GPS/GLONASS Differential Code Biases on the Determination Accuracy of the Absolute Total Electron Content in the Ionosphere, Geomagn. and Aeron., ISSN 0016_7932, 2015.

Ionósfera sobre México: TEC en el centro del país (datos locales)

Desviación de TEC de su mediana de los 27 días anteriores al día de observación e Índice de clima ionosférico W durante 03-09.05.2018 con base en los datos de la estación local UCOE (TLALOCNet, UNAVCO) en las instalaciones del MEXART:

Según los datos locales, esta semana no se registraron perturbaciones ionosféricas.



Referencia: Gulyaeva et al., GIM-TEC adaptive ionospheric weather assessment and forecast system. doi:10.1016/j.jastp.2013.06.011, 2013.

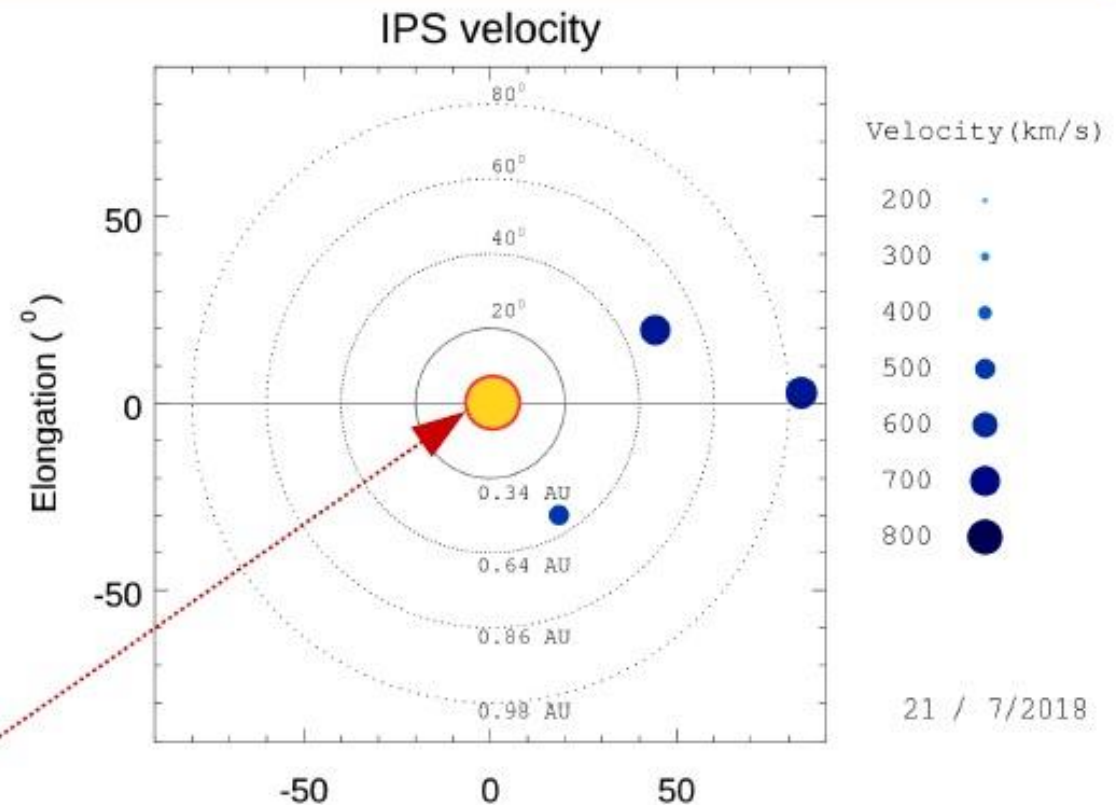
Mediciones de viento solar con MEXART: Centelleo interplanetario

Fuentes de centelleo interplanetario registradas por el MEXART

La imagen muestra círculos azules correspondientes a fuentes de radio, estos objetos son núcleos de galaxias activas actualmente observadas por MEXART.

En la ubicación aparente de los objetos encontramos la velocidad del viento solar.

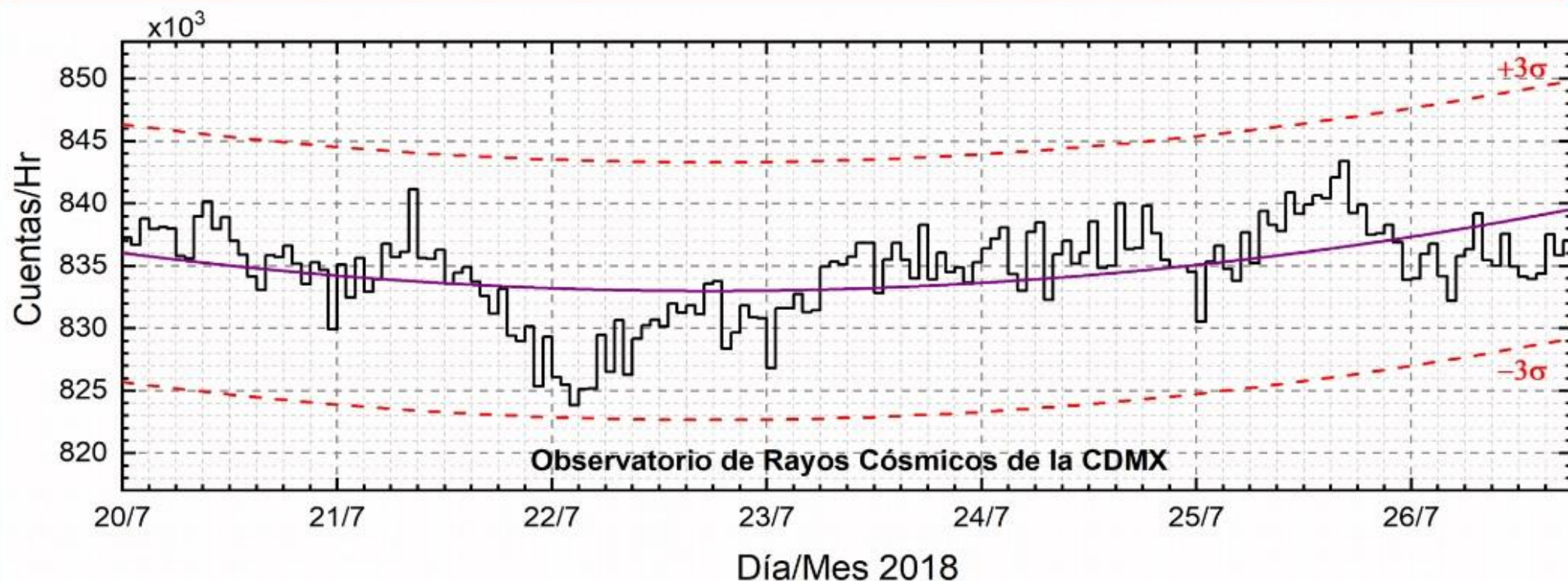
Velocidades de 535 y 770 km/s los días 24 y 25 en zona suroeste. De 615, 790 y 870 km/s zona noroeste los días 20, 21 y 22 en zona. De 875 y 315 los días 21 y 23 en zona oeste.



Sol visto por un observador en Tierra

www.mexart.unam.mx

Rayos Cósmicos:



<http://www.cosmicrays.unam.mx/>

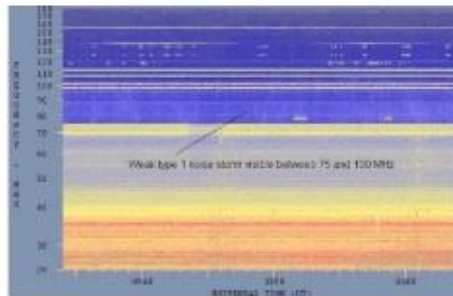
Datos del Observatorio de Rayos Cósmicos de la Ciudad de México. La curva púrpura representa el promedio de los datos registrados, las líneas discontinuas rojas representan la significación de los datos (3σ). Cuando se registran variaciones mayores a 3σ , es probable que éstas sean debidas a efectos de emisiones solares en el flujo de rayos cósmicos.

Del 20 al 26 de julio de 2018, no se detectaron incrementos significativos ($>3\sigma$) en las cuentas de rayos cósmicos galácticos.

Tipos de estallidos de radio solares

Tipo I: Estallidos cortos y banda de emisión estrecha. Ocurren en un gran número sobre un continuo de emisión. Duración de 1 s y en tormenta de horas a días.

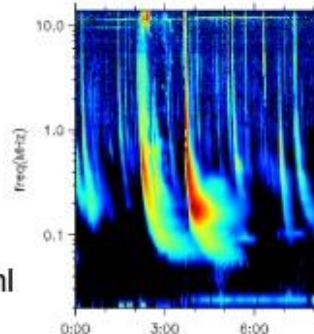
Se asocian con regiones activas, fulguraciones y protuberancias eruptivas



spaceacademy.net.au/env/sol/solradp/solradp.htm

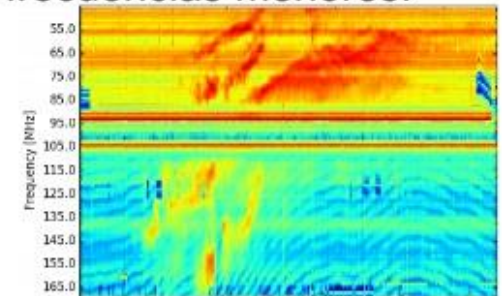
Tipo III: Estallidos de deriva rápida, con duración de pocos segundos en el rango métrico. Tienen anchos de emisión amplios. Son producidos en fulguraciones donde son expulsados a velocidades relativistas.

Se pueden presentar también como tormentas de estallidos.



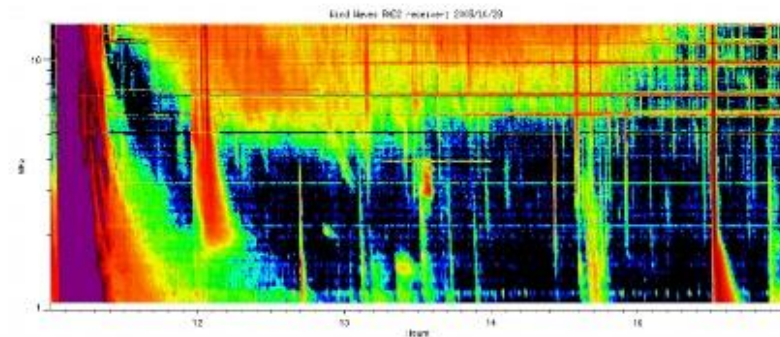
ssed.gsfc.nasa.gov/waves/data_products.html

Tipo II: Estallidos de deriva lenta. Son la firma de ondas de choque, producidas por fulguraciones o EMCs, que se propagan cerca del Sol y medio interplanetario. Presentan anchos de de emisión estrechos que derivan a frecuencias menores.



www.rice.unam.mx/callisto

Tipo IV: Se relacionan con fulguraciones, tienen anchos de banda amplios y pueden durar horas.

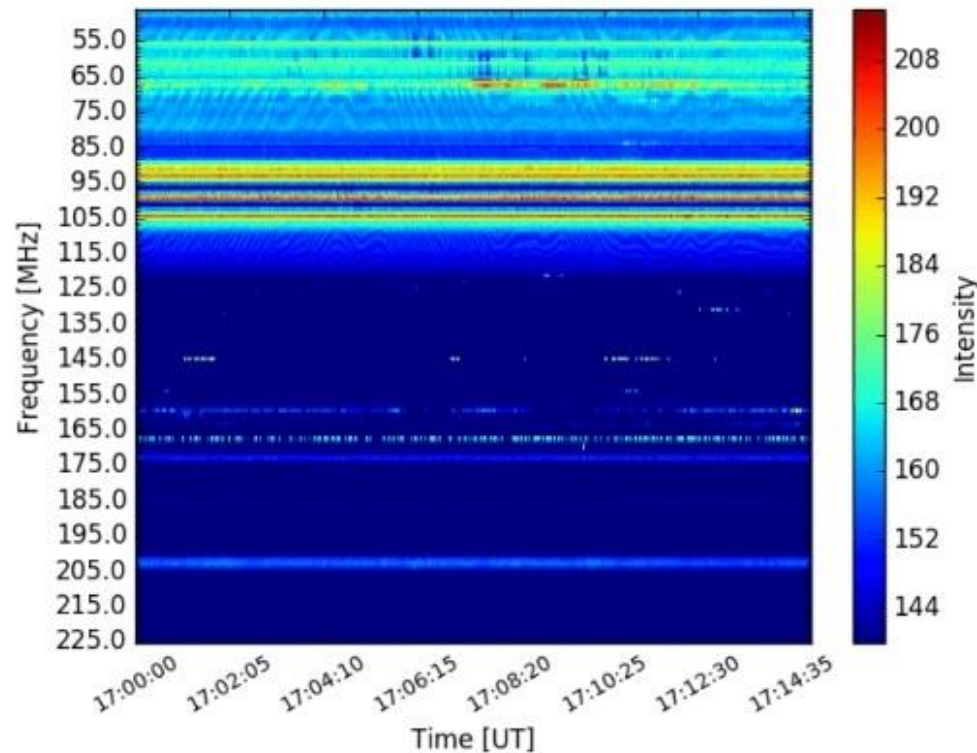


https://ssed.gsfc.nasa.gov/waves/data_products.html

Estallidos de radio solares: Observaciones de Callisto-MEXART

Callisto-MEXART no detectó ningún evento de radio solar esta semana.

26 Jul 2018 Radio flux density (MEXART)



● <http://www.rice.unam.mx/callisto/2018/07>

UNAM/LANCE/SCIESMEX

Dr. J. Américo González Esparza

Dr. Víctor De la Luz Rodríguez

Dra. Maria Sergeeva

Dr. Pedro Corona Romero

Dr. Julio C. Mejía Ambriz

Dr. Luis Xavier González Méndez

Dr. Ernesto Aguilar-Rodríguez

Dr. José Juan González-Aviles

Dra. Tania Oyuki Chang Martínez

M.C. Elsa Sánchez García

UANL

Dr. Eduardo Pérez Tijerina

Dra. Esmeralda Romero Hernández

LANCE

Ing. Ernesto Andrade Mascote

M.C. Pablo Villanueva Hernández

Ing. Pablo Sierra Figueredo

UNAM ENES-Morelia

Dr. Mario Rodríguez Martínez

Lic. Víctor Hugo Méndez Bedolla

Aranza Fernández Álvarez del Castillo

RADIACIÓN SOLAR

Elizandro Huipe

Lic. Francisco Tapia

Carlos Miranda

RAYOS CÓSMICOS

Dr. José Francisco Valdés Galicia

Fis. Alejandro Hurtado Pizano

Ing. Octavio Musalem Clemente

SERVICIO MAGNÉTICO

M.C. Esteban Hernández Quintero

M.C. Gerardo Cifuentes Nava

Dra. Ana Caccavari Garza

Elaboración: Maria Sergeeva

Revisión: Ernesto Aguilar Rodríguez

Agradecimientos

El Laboratorio Nacional de Clima Espacial (LANCE) es parcialmente financiado por: el programa Cátedras CONACYT Proyecto 1045 y el Fondo Sectorial AEM-CONACYT proyecto 2014-01-247722. Agradecemos a todos los responsables y colaboradores de instrumentos del LANCE y a las redes de estaciones GPS del Servicio Sismológico Nacional y TalocNET por facilitar sus datos. Agradecemos a Gerardo Cifuentes, Esteban Hernández y Ana Caccavari por los datos del Observatorio magnético de Teoloyucan. De igual forma, agradecemos los servicios de IGS (International GNSS Service) por permitirnos usar los datos IONEX disponibles en: <ftp://cddis.gsfc.nasa.gov/pub/gps/products/ionex>. Adicionalmente, queremos indicar que los datos RINEX fueron obtenidos de las siguientes redes de receptores GPS: del Servicio Sismológico Nacional (SSN), IGEF-UNAM, SSN-TLALOCNet y TLALOCNet. Agradecemos a su personal, particularmente al personal del SSN y a José A. Santiago por el mantenimiento de estaciones, la adquisición de datos y su distribución. También reconocemos el trabajo de campo, la ingeniería y el soporte de IT para las redes TLALOCNet y SSN-TLALOCNet GPS-Met de Luis Salazar-Tlaczani (Instituto de Geofísica-UNAM), John Galetzka, Adam Woolace y todo el personal de ingeniería de UNAVCO Inc. Agradecemos a UNAVCO (www.unavco.org) por la oportunidad de descargar datos en Internet. Parte de las operaciones de la red TLALOCNet y SSN-TLALOCNet GPS fueron apoyadas por The National Science Foundation bajo el proyecto EAR-1338091 a UNAVCO Inc., proyectos CONACyT 253760 y 256012, proyecto UNAM-PAPIIT IN109315-3 de E. Cabral-Cano y proyecto UNAM-PAPIIT IN111509 de R. Pérez. De igual forma agradecemos al LACIGE-UNAM de la ENES Unidad Morelia por los datos GPS, adquiridos a través del proyecto de infraestructura CONACYT: 253691 de M. Rodríguez-Martínez. El cálculo de TEC se realiza: 1) utilizando el software US-TEC que es un producto de operación del Space Weather Prediction Center (SWPC), desarrollado a través de una colaboración entre National Geodetic Survey, National Oceanic and Atmospheric Administration (NOAA) y el Cooperative Institute for Research in Environmental Sciences of the University of Boulder, Colorado, 2) con base en el software TayAbsTEC del Instituto de Física Solar-Terrestre, Sección Siberiana de la Academia de Ciencias Rusa.

Créditos

Datos:

Imágenes de coronógrafo, flujo de rayos X y modelo WSA-ENLIL:

<http://www.swpc.noaa.gov/products>

<http://iswa.ccmc.gsfc.nasa.gov/IswaSystemWebApp/>

Imágenes de coronógrafo:

<http://sohowww.nascom.nasa.gov/data/>

Imágenes del disco solar y de la fulguración:

<http://www.solarmonitor.org/>

Detección y caracterización de EMCs:

<http://www.sidc.oma.be/cactus/out/latestCMEs.html>

<http://spaceweather.gmu.edu/seeds/>

ISES:

<http://www.spaceweather.org/>

International Network of Solar Radio Spectrometers (e-callisto):

<http://www.e-callisto.org/>

German Research Center For Geosciences Postdam:

<http://www.gfz-potsdam.de/en/sektion/erdmagnetfeld/daten-dienste/kp-index/>

Data Analysis Center for Geomagnetism and Space Magnetism, Kyoto University:

<http://wdc.kugi.kyoto-u.ac.jp/index.html>

UNAVCO:

<http://www.unavco.org>

SSN:

<http://www.sismologico.unam.mx/>

SOHO Spacecraft NASA:

<http://sohowww.nascom.nasa.gov/>

SDO Spacecraft NASA:

<http://sdo.gsfc.nasa.gov/>

Space Weather Prediction Center NOAA:

<http://www.swpc.noaa.gov>

GOES Spacecraft NOAA:

<http://www.ngdc.noaa.gov/stp/satellite/goes/index.html>

ACE Spacecraft NOAA

<http://www.srl.caltech.edu/ACE/ASC/index.html>